

УДК 621.315.592

**О НЕКОТОРЫХ МЕХАНИЗМАХ  
ВЛИЯНИЯ ТЕПЛОВОЙ ПРЕДЫСТОРИИ  
НА ПОВЕДЕНИЕ ПАРАМЕТРОВ КРЕМНИЯ  
ПОД ОБЛУЧЕНИЕМ**

Нейман В. Б., Саган Т. Р., Цмоць В. М.,  
Шаховцов В. И., Шиндич В. Л.

Методами оптической и емкостной спектроскопии, нестационарной фотопроводимости, эффекта Холла и электронно-растровой микроскопии исследовано влияние предварительных термообработок (ТО) в диапазоне 400—1200 °C на поведение параметров монокристаллического Si при последующем  $\gamma$ -, электронном и нейтронном облучении. На основе анализа полученных экспериментальных результатов предложены пять основных механизмов влияния тепловой предыстории Si на поведение его свойств под ионизирующими облучениями: 1) распад твердых растворов примесей, эффективно взаимодействующих с радиационными дефектами (РД); 2) образование электрически активных термодефектов (ТД) в концентрациях, достаточных для существенного изменения зарядового состояния РД; 3) возникновение ТД, способных эффективно взаимодействовать с РД; 4) изменение эффективности внутреннего геттерирования РД вследствие перераспределения примесей при ТО; 5) формирование скоплений электрически активных ТД, приводящих к нарушению электрической однородности кристалла Si.

Реальный полупроводниковый кремний всегда подвергается термообработкам (ТО). Это происходит уже при выращивании монокристалла, затем в процессе изготовления приборов на его основе и в дальнейшем в ходе эксплуатации этих приборов. При ТО в кремнии происходит ряд процессов, которые в той или иной мере влияют на все его основные свойства, в том числе и на их чувствительность к воздействию ионизирующих облучений. Поэтому при рассмотрении процессов, происходящих в реальном кремнии под облучением, необходимо учитывать роль предшествующих ТО.

Цель настоящей работы — изучение механизмов влияния предварительных ТО и образующихся при этом термодефектов на кинетику накопления основных вторичных радиационных дефектов (РД) в кремни, а также на поведение его электрофизических параметров под облучением.

### Эксперимент

Использовались образцы промышленного тигельного, бездислокационного  $n\text{-Si}$  с исходным удельным электросопротивлением от 1 до 45 Ом·см, а также специально выращенных монокристаллов  $n$ - и  $p$ -типа, дополнительно легированных примесями РЗЭ, Sn и Ni.

Применялось облучение  $\gamma$ -квантами  $^{60}\text{Co}$  интенсивностью до  $3 \cdot 10^3$  Р/с; электронами с энергией 3 МэВ и плотностью тока  $0.2\text{--}5$  мА/см<sup>2</sup>; реакторными нейтронами с интенсивностью  $10^9$  с<sup>-1</sup>·см<sup>-2</sup>. Облучение проводилось при температурах 25—100 °C.

Термообработки осуществлялись в диапазоне температур 100—1200 °C с длительностями от 0.5 до 510 ч, со скоростями охлаждения  $5 \cdot 10^{-2}\text{--}10^2$  К/с в атмосферах сухого азота, влажного кислорода и на воздухе.

Измерение содержания примесей кислорода и углерода, а также контроль накопления основных РД при больших дозах облучения проводились по ИК-

глощению. Время жизни неосновных носителей тока определялось по релаксации неравновесной фотопроводимости кристаллических образцов и по переходным характеристикам диффузионных  $p-n$ -переходов. Измерение концентрации основных носителей тока осуществлялось по эффекту Холла и вольт-фарадным характеристикам барьеров Шоттки: сечение захвата носителей и концентрации глубоких уровней — методом DLTS. Контроль структурного совершенства исследуемых кристаллов осуществлялся с помощью селективного травления и растровой электронной микроскопии.

Схема эксперимента: измерение исходных параметров образцов; проведение ТО; измерение параметров образцов после ТО; облучение термообработанных и контрольных образцов; измерение параметров облученных образцов.

## Результаты и обсуждение

Одним из методов снижения чувствительности параметров Si к воздействию ионизирующей радиации является метод внутреннего геттерирования РД. Суть его сводится к введению в объем кристалла неких дефектов (геттеров), мало влияющих на его электрические характеристики, однако эффективно взаимодействующих под облучением с компонентами пар Френкеля без образования электрически активных комплексов. Захватывая первичные РД, геттеры исключают их таким образом из процесса генерации электрически активных вторичных РД, которые приводят к деградации параметров Si и приборов на его основе. В качестве внутренних геттеров могут служить различные дефекты: например, дислокации, примеси некоторых элементов, границы раздела и т. д. Однако не всегда удается создать радиационно стойкие приборы на основе Si с внутренними геттерами. Оказалось, что при технологических ТО в ходе изготовления приборов некоторые геттеры теряют свою способность захватывать первичные РД. Далее приведены результаты наших исследований, объясняющих, почему это происходит.

Концентрация примеси, $\text{см}^{-3}$	$K_\tau / K_\tau^0$			$\eta / \eta^0$		
	исходная	ТО (450, 20 ч)	ТО (1100, 3 ч)	исходная	ТО (450, 20 ч)	ТО (1100, 3 ч)
$N_{\text{Ni}} = 1.0 \cdot 10^{16}$	0.5	1	—	0.7	1	—
$N_{\text{Gd}} = 6.0 \cdot 10^{15}$	0.8	1	1	0.6	1	1
$N_{\text{Gd}} = 8.5 \cdot 10^{16}$	0.5	1	1	0.2	1	1
$N_{\text{Sn}} = 1.0 \cdot 10^{19}$	0.2	—	0.2	0.2	0.2	0.2
$N_{\text{Sn}} = 2.0 \cdot 10^{18}$	0.3	—	0.3	0.3	0.3	0.3
$N_{\text{Sn}} = 4.0 \cdot 10^{17}$	0.7	—	0.7	0.7	0.7	0.7

Известно, что атомы примеси олова, примесные преципитаты РЗЭ и переходных металлов в Si являются эффективными ловушками для вакансий ( $V$ ) [ $^{[1-3]}$ ]. В таблице показано влияние этих примесей и предварительной ТО на константу деградации времени жизни неосновных носителей тока

$$K_\tau = \frac{1}{\Phi} \left( \frac{1}{\tau} - \frac{1}{\tau_0} \right)$$

(где  $\Phi$  — доза облучения,  $\tau_0$  — время жизни неосновных носителей тока в исходном,  $\tau$  — облученном Si) и скорость введения  $A$ -центров  $\eta$ . Здесь приведены отношения указанных констант в легированных примесями Ni, Gd или Sn ( $K_\tau / \eta$ ) и контрольных материалах при электронном и  $\gamma$ -облучении ( $K_\tau^0 / \eta^0$ ).

Видно, что примеси Ni, Gd и Sn существенно снижают параметры деградации в исходных образцах. Однако такое влияние Ni и Gd исчезает после ТО, в то время как влияние примеси Sn остается неизменным. Это различие, по-видимому, связано с тем, что Ni и Gd находятся в Si в основном в виде преципитатов, а Sn — в виде дисперсных атомов [ $^{[2-4]}$ ]. РЭМ исследования показали, что ис-

пользуемые режимы ТО не влияют заметным образом на концентрацию или структуру преципитатов Ni и Gd. Поэтому уменьшение эффекта геттерирования  $V$  преципитатами Ni и Gd можно объяснить релаксацией упругих напряжений, создаваемых ими в решетке Si, которые являются главной причиной захвата  $V$  на эти электрически нейтральные дефекты [4]. Такая релаксация во время ТО может происходить вследствие образования примесных атмосфер вокруг преципитатов и сопутствующих им дислокаций. Это следует из данных работ [5, 6], где подтверждается, что Gd ускоряет распад твердого раствора кислорода и «глубоких» примесей, играя роль дополнительного центра распада.

Таким образом, роль тепловой предыстории в данном случае сводится к изменению эффективности захвата первичных РД нейтральными центрами вследствие релаксации упругих полей вокруг этих центров при перераспределении примесей в ходе ТО.

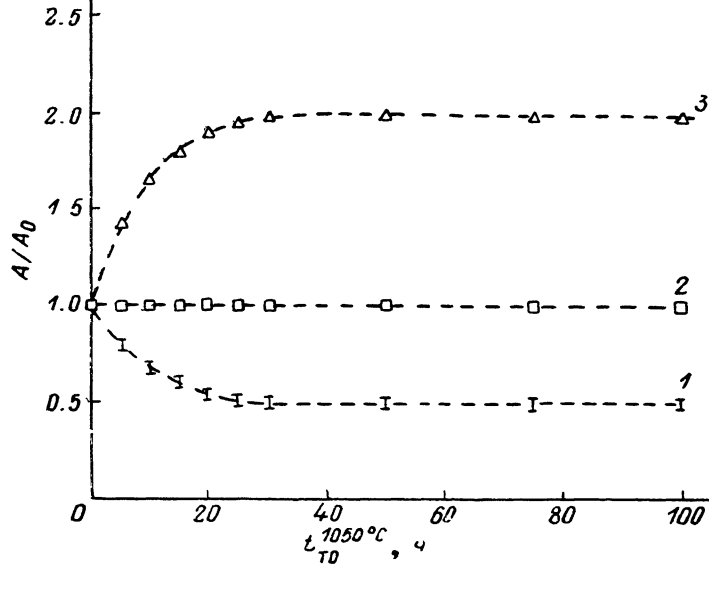


Рис. 1. Зависимости относительного изменения параметра  $A$  от длительности ТО при  $1050^{\circ}\text{C}$ .  
1 —  $A = N_O$ , 2 —  $A = dA/d\Phi$ , 3 —  $A = dE/d\Phi$ .

Температурный диапазон вблизи  $1000^{\circ}\text{C}$  является наиболее широко используемым в технологии изготовления полупроводниковых приборов. Поэтому представляет интерес вопрос о влиянии ТО в этой области на радиационное дефектообразование при последующем облучении. В частности, ТО в области  $1000^{\circ}\text{C}$  приводит к образованию в объеме Si микрочастиц  $\text{SiO}_2$ -фазы. Это является следствием распада пересыщенного твердого раствора (ПТР) кислорода в Si.  $\text{SiO}_2$ -микрочастицы широко используются в планарной технологии для геттерирования нежелательных примесей. Далее изложены результаты наших исследований, целью которых было изучить, как термообработки, применяемые для создания  $\text{SiO}_2$ -фазы в кремнии, влияют на радиационное дефектообразование в его объеме при последующем облучении.

Для ускорения распада ПТР кислорода мы использовали двустадийную ТО —  $800^{\circ}\text{C}$ , 3 ч. +  $1050^{\circ}\text{C}$ , 3—100 ч. Стадия ТО при  $800^{\circ}\text{C}$  применяется с целью создания дополнительных зародышей для распада.

На рис. 1 показаны зависимости от длительности ТО при  $1050^{\circ}\text{C}$  относительного изменения концентрации межузельного кислорода (1), скоростей введения  $A$ - (2) и  $E$ -центров (3) при последующем облучении в диапазоне доз  $\gamma$ -облучения  $10^5$ — $10^7$  Р и электронного облучения  $3 \cdot 10^{15}$ — $1 \cdot 10^{16}$  см $^{-2}$ . Видно, что переход более половины атомов кислорода из межузельного состояния  $\text{O}_i$  в  $\text{SiO}_2$ -фазу вследствие такой ТО сопровождается почти двукратным увеличением скоп-

ности образования  $E$ -центров при неизменной скорости образования  $A$ -центров. Анализ зависимости кинетики накопления этих РД от концентрации  $O_2$  (подробно описан в [7]) показывает, что такое поведение РД обусловлено изменением баланса  $V$ , захватывающихся атомами фосфора и кислорода из-за ухода кислорода из межузельного состояния в  $SiO_2$ -фазу, т. е. влияние ТО сводится к изменению концентрации растворенного кислорода, а частицы  $SiO_2$ -фазы существенного влияния на начальное образование РД не оказывают.

Однако при дозах электронного облучения, соответствующих нелинейному участку дозовых зависимостей вторичных РД, накопление  $A$ - и  $V_2$ -центров после такой ТО существенно замедляется (рис. 2). Причем это происходит коррелированно с содержанием  $SiO_2$ -фазы в облучаемых образцах. Полученные результаты объясняются тем, что  $SiO_2$ -частицы и сопутствующие им собственные дефекты структуры являются менее эффективными стоками для  $V$ , чем атомы  $P$  и  $O_2$ . Однако при достаточно больших дозах облучения они играют роль

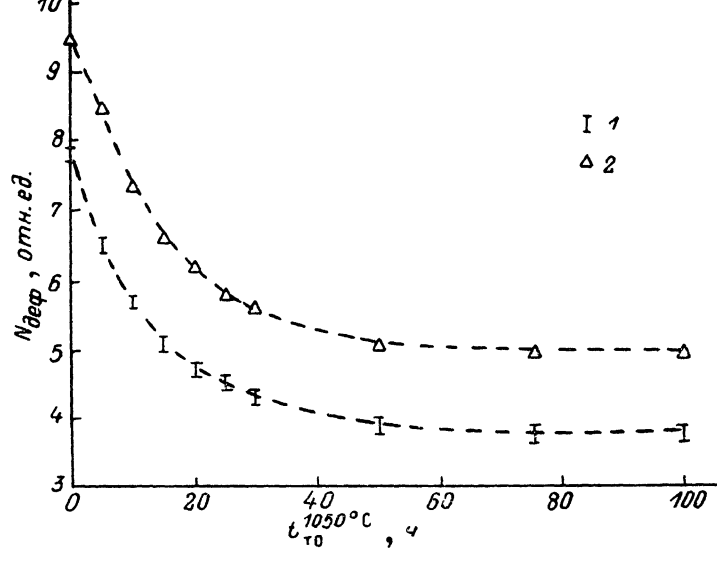


Рис. 2. Зависимости концентрации  $A$ -центров (1) и дивакансий  $V_2$  (2) от длительности предварительной ТО при  $1050^{\circ}C$ .

Доза электронного облучения  $\Phi = 7.5 \cdot 10^{17} \text{ см}^{-2}$ .

центров непрямой аннигиляции компонентов пар Френкеля. Характерной особенностью аннигиляции РД на этих центрах является то, что вначале происходит захват собственных межузлий, а затем —  $V$ . Следовательно, изменение в ходе предварительных ТО фазового состояния примесей, способных под облучением эффективно взаимодействовать с компонентами пар Френкеля, может вызвать изменение темпа генерации даже не связанных с этими примесями вторичных РД из-за изменения соотношения каналов расходования первичных РД. Кроме того, термодефекты, образующиеся в результате распада ПТР примесей при ТО (преципитаты второй фазы или сопутствующие им собственные дефекты типа дислокационных петель, дефекты упаковки и т. д.), способны выступить в качестве дополнительных центров аннигиляции при последующем облучении.

Большинство режимов технологических ТО кремния, выращенного по методу Чохральского, приводят к формированию в его объеме кислородных термодоров (КТД) в заметных концентрациях [8]. Соответственно практический интерес представляет вопрос о взаимодействии КТД с РД и других формах влияния КТД на поведение параметров Si под облучением. Далее изложены результаты наших исследований в этом направлении.

На рис. 3 приведены зависимости относительного изменения начальных скоростей введения  $A$ - и  $E$ -центров от концентрации химических (P) и терми-

ческих (введенных при 450 °C) доноров. Видно, что в отличие от химических доноров КТД во всем диапазоне своих возможных концентраций не оказывают заметного влияния на эффективность накопления этих РД. Исследования спектров ИК поглощения, облученного электронами (флюенсами до  $1.4 \times 10^{18} \text{ см}^{-2}$ ), показало, что КТД не влияют на накопление  $A$ - и  $V_2$ -центров и в области предельных концентраций этих РД. Нам не удалось заметить влияния электронного облучения в диапазоне доз  $5 \cdot 10^{13}$ — $5 \cdot 10^{16} \text{ см}^{-2}$  на концентрацию КТД в электрически активном состоянии. Перечисленные результаты позволяют, на наш взгляд, сделать вывод о том, что КТД не взаимодействуют с ком-

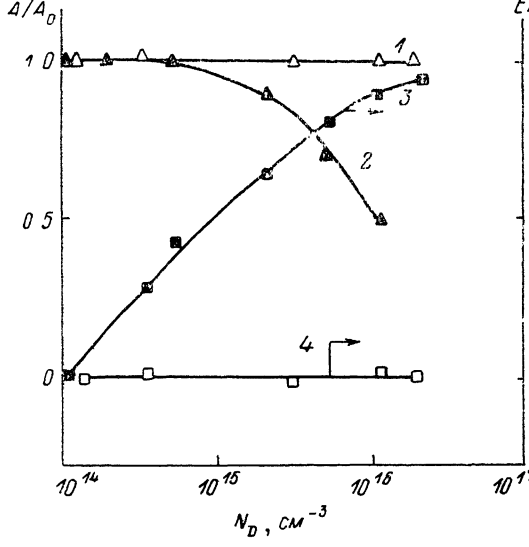


Рис. 3. Зависимости относительного изменения скоростей введения  $A$ - (1, 2) и  $E$ -центров (3, 4) от концентрации фосфора (1, 3) и термодоноров (2, 4).

$$A = dA/d\Phi, E = dE/d\Phi.$$

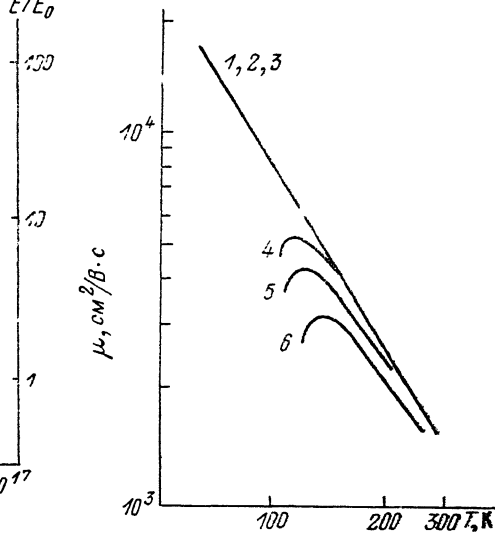


Рис. 4. Температурные зависимости холловской подвижности в исходном (1), контролльном (2) и облученном (3—6) кремнии с различной концентрацией химических и термодоноров.

$$\begin{aligned} 1 - N_{\text{КТД}} &= 0, N_P = 7 \cdot 10^{13} \text{ см}^{-3}, \Phi = 0; \\ 2 - N_{\text{КТД}} &= 5 \cdot 10^{15} \text{ см}^{-3}, N_P = 7 \cdot 10^{13} \text{ см}^{-3}, \Phi = 0; \\ 3 - N_{\text{КТД}} &= 0, N_P = 5 \cdot 10^{15} \text{ см}^{-3}, \Phi = 3 \times 10^{15} \text{ см}^{-2}; \\ 4 - N_{\text{КТД}} &= 5 \cdot 10^{14} \text{ см}^{-3}, N_P = 7 \cdot 10^{13} \text{ см}^{-3}, \Phi = 1 \cdot 10^{15} \text{ см}^{-2}; \\ 5 - N_{\text{КТД}} &= 5 \cdot 10^{14} \text{ см}^{-3}, N_P = 7 \cdot 10^{13} \text{ см}^{-3}, \Phi = 3 \times 10^{15} \text{ см}^{-2}; \\ 6 - N_{\text{КТД}} &= 5 \cdot 10^{15} \text{ см}^{-3}, N_P = 7 \cdot 10^{13} \text{ см}^{-3}, \Phi = 3 \cdot 10^{15} \text{ см}^{-2}. \end{aligned}$$

понентами пар Френкеля под облучением, или же по крайней мере сечение их взаимодействия значительно меньше, чем взаимодействие  $V$  с  $O$ . Это нетривиальное свойство КТД, вероятно, обусловлено спецификой их природы и ранее не учитывалось при построении моделей КТД. Однако оказалось, что КТД способны влиять на поведение Si под облучением, не вступая в прямое взаимодействие с РД.

На рис. 4 показано, как влияют термодоноры на температурные зависимости холловской подвижности в облученном кремнии. Видно, что в отличие от исходного кремния и кремния с такой же концентрацией химического донора Р в случае кремния, содержащего термодоноры, наблюдается резкое уменьшение подвижности уже в области температур фононного рассеяния при той же степени компенсации. Качественно аналогичное влияние на подвижность в облученном кремнии оказывают и термодоноры, образующиеся при температурах 530 и 650 °C. Такое поведение подвижности характерно для материалов, содержащих электрические неоднородности [9]. В данном случае такие неоднородности обусловлены существованием микроскоплений КТД [10]. Уменьшение подвижности по этому механизму удовлетворительно описывается в диффузионном приближении, если в состав скоплений входит 3—5 термодоноров [10].

Другим механизмом косвенного влияния КТД является изменение зарядового состояния РД.

На рис. 5 показано влияние температуры предварительной ТО в течение 5 ч на концентрацию  $A$ -центров (1), уровней кислородосодержащих термодоноров  $E_c = 0.15$  эВ (2), концентрации свободных электронов при 300 К (3) и константы деградации времени жизни дырок (4) в  $\gamma$ -облученном  $n$ -Si и диодных структурах на его основе ( $\Phi = 1 \cdot 10^5 \div 6 \cdot 10^6$  Р). Обращает на себя внимание тот факт, что наблюдается два четко выраженных максимума на зависимости  $K_\tau(T_{\text{TO}})$  при однократной концентрации  $A$ -центров — основного рекомбинационного центра в таком материале [ $\rho = 45$  Ом·см;  $N_0 = (7 \div 9) \cdot 10^{17}$  см $^{-3}$ ,  $N_C \leq 5 \cdot 10^{16}$  см $^{-3}$ ].

Характерно совпадение максимумов на зависимостях 2—4, положение которых соответствует температурам наиболее эффективной генерации КТД.

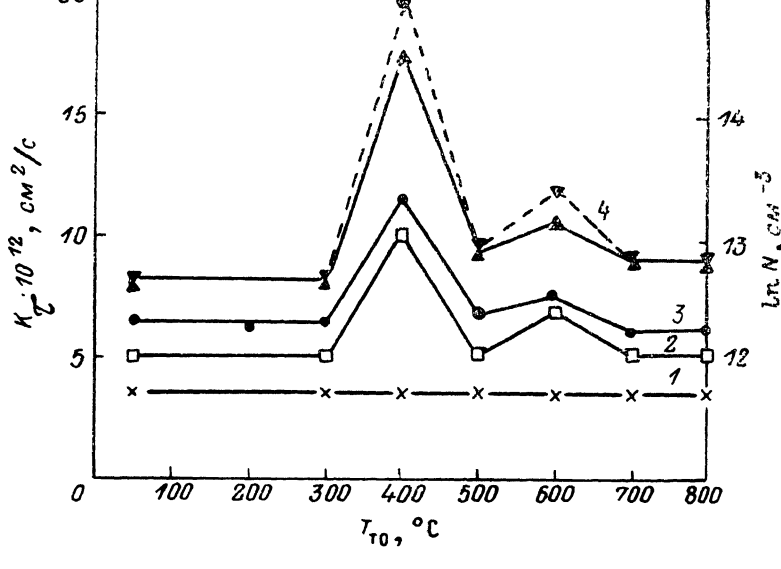


Рис. 5. Зависимости концентраций  $A$ -центров (1), глубоких уровней ТД  $E_c = 0.15$  эВ (2), свободных электронов (3), константы деградации времени жизни дырок (4).

Эксперимент — треугольники на сплошной линии, расчет — на пунктирной.

Такая корреляция может означать увеличение темпа рекомбинации неравновесных носителей через  $A$ -центр в результате изменения электронного заполнения уровня  $E_c = 0.17$  эВ вследствие смещения уровня Ферми при введении КТД. Результат расчета рекомбинации через  $A$ -центр, проведенного на основе статистики Шокли—Рида (подробно описан в [11]) с учетом влияния ТД на положение уровня Ферми, приведен на рис. 5 штрихами. Расхождение с экспериментом не превышает 25 %.

Аналитическая зависимость времени жизни неосновных носителей тока  $\tau$  от концентрации  $A$ -центров и КТД имеет вид

$$\frac{1}{\tau} = \beta N_A \frac{N_{\text{КТД}} + N_P}{N_{\text{КТД}} + N_P Q_c \exp(E_A/kT)},$$

где  $\beta$  — вероятность захвата дырки на заряженный  $A$ -центр,  $N_A$  — концентрация  $A$ -центров,  $N_{\text{КТД}}$  — концентрация ТД,  $N_P$  — концентрация фосфора,  $Q_c$  — плотность состояний в  $c$ -зоне,  $E_A$  — энергия активации  $A$ -центра.

Качественно аналогичное влияние оказывает ТО на деградацию  $\tau$  и при нейтронном облучении. В этом случае степень влияния ТД несколько меньше, так как в нейтронно облученном Si основными центрами рекомбинации являются более глубокие, чем  $A$ -центры РД, зарядовое состояние которых слабо меняется при введении КТД.

Таким образом, возникновение в Si в ходе предварительных ТО электрически активных термодефектов способно повлиять на эффективность рекомбинации неравновесных носителей тока на вторичных РД, а в случае негомогенной локализации таких термодефектов — существенно снизить подвижность носителей в облученных кристаллах.

**Заключение.** Изложенные результаты позволяют отнести к числу основных механизмов влияния тепловой предыстории Si на поведение его свойств под облучением следующие процессы.

1. Распад твердых растворов примесей, эффективно взаимодействующих с первичными РД.
2. Образование электрически активных термодефектов в концентрациях, достаточных для существенного изменения зарядового состояния РД.
3. Возникновение термодефектов, способных эффективно взаимодействовать с РД.
4. Процессы, влияющие на эффективность внутреннего геттерирования РД.
5. Образование скоплений электрически активных термодефектов, приводящих к нарушению электрической однородности кристалла кремния.

#### Список литературы

- [1] Неймаш В. Б., Соснин М. Г., Туровский Б. М., Шаховцов В. И., Шиндич В. Л. // ФТП. 1982. Т. 16. В. 5. С. 902—903.
- [2] Неймаш В. Б., Соснин М. Г., Шаховцов В. И., Шиндич В. Л. // ФТП. 1981. Т. 15. В. 4. С. 786—788.
- [3] Зандайдинов С., Неймаш В. Б., Шаховцов В. И., Шиндич В. Л. // Деп. в ВНИИТИЭИГ УзССР, 1986. № 438-Уз.
- [4] Неймаш В. Б., Шаховцов В. И., Шиндич В. Л. // Препринт № 25 Института физики АН УССР. Киев, 1987.
- [5] Просолович В. С. // Автореф. канд. дис. Минск, 1987.
- [6] Неймаш В. Б., Сирацкий В. М., Шаховцов В. И., Шиндич В. Л. // УФЖ. 1987. Т. 32. В. 10. С. 1550—1552.
- [7] Крайчинский А. Н., Неймаш В. Б., Саган Т. Р., Сирацкий В. М., Цмонь В. М., Шаховцов В. И., Шиндич В. Л. // УФЖ. 1989. Т. 34. В. 7. С. 1071—1074.
- [8] Bourett A. // Proc. XIII Int. Conf. on Defects in Semicond / Fd by L. C. Kimerling and J. M. Parsey. 1985. Warrendale PA. P. 129—146.
- [9] Пекар С. И. // ФТТ. 1966. Т. 8. В. 4. С. 1115—1121.
- [10] Неймаш В. Б. // Автореф. канд. дис. ИФ АН УССР. Киев, 1988.
- [11] Неймаш В. Б., Соснин М. Г., Шаховцов В. И., Шиндич В. Л., Яковец И. И. // ФТП. 1988. Т. 28. В. 2. С. 206—209.

Институт физики АН УССР  
Киев

Получена 4.03.1991  
Принята к печати 18.04.1991